

2. Колмаков И. А., Акмаев Н. Н., Алпатов В. В. О нелинейном взаимодействии в движущейся релаксационной среде на фоне теплового расширения области взаимодействия // ЖТФ.— 1981.— Т. 51, № 8.
3. Колмаков И. А., Самарцев В. В. Возбуждение акустического черенковского излучения в движущихся релаксационных средах и некоторые его приложения // ЖТФ.— 1986.— Т. 56, № 2.
4. Кавеева З. М., Колмаков И. А., Самарцев В. В. Акустическое черенковское излучение в движущихся релаксационных средах и некоторые его приложения // III Всесоюз. симпоз. по световому эхо- и когерентной спектроскопии: Тез. докл.— Харьков: Ин-т низких температур АН УССР, 1985.
5. Штырков Е. И., Самарцев В. В. Резонансная динамическая голография и оптическое сверхизлучение/Под ред. В. А. Голенищева-Кутузова, В. В. Самарцева.— Казань: Изд-во КФ АН СССР, 1975.
6. Самарцев В. В., Штырков Е. И. Акустическое преобразование волновых фронтов в резонансных эхоголограммах // ФТТ.— 1976.— Т. 18, № 10.
7. Манькин Э. А., Самарцев В. В. Оптическая эхоспектроскопия.— М.: Наука, 1984.
8. Набойкин Ю. Н., Самарцев В. В., Зиновьев П. В., Силаев Н. В. Когерентная спектроскопия молекулярных кристаллов.— Киев: Наук. думка, 1986.
9. Колмаков И. А., Антонов Н. Н., Логвинов И. А. Учет теплового пограничного слоя и дифракционных явлений при определении времени распространения звука в ультразвуковых расходомерах // ИФЖ.— 1978.— Т. 35, № 3.
10. Болотовский Б. М. Теория эффекта Вавилова — Черенкова // УФН.— 1957.— Т. 62, вып. 3.
11. Гинзбург В. Л. Некоторые вопросы теории излучения при сверхсветовом движении в среде // УФН.— 1952.— Т. 69, вып. 2.
12. Радио и акустическая голография.— Л.: Наука, 1976.

г. Казань

Поступила 6/V 1988 г.

УДК 519.6:531.7:533.7

А. Л. Баландин, Н. Г. Преображенский, А. И. Седелников

ТОМОГРАФИЧЕСКОЕ ВОССТАНОВЛЕНИЕ РАСПРЕДЕЛЕНИЯ ЧАСТИЦ ПО СКОРОСТЯМ

1. Измерение спектра флюоресценции разреженной среды (газа или плазмы) позволяет восстановить одну из важнейших характеристик среды — функцию распределения (ФР) частиц по скоростям. В традиционной (одноракурсной) постановке для определения ФР регистрируется спектр $q(v, \mathbf{n})$ излучения, распространяющегося вдоль направления \mathbf{n} . При этом функция $q(v, \mathbf{n})$ связана с функцией $f(v, \mathbf{n})$ распределения частиц по проекциям скоростей на направление \mathbf{n} уравнением [1, 2]

$$(1.1) \quad \int_{-\infty}^{\infty} K\left(\frac{v}{c}(v-v')\right) f(v', \mathbf{n}) dv' = q\left(v_0 \frac{v}{c}, \mathbf{n}\right).$$

Здесь $K(v)$ — ядро, учитывающее влияние недоплеровских механизмов уширения и аппаратной функции спектральных приборов; $v = v_0 v/c$; v_0 — частота, характеризующая положение центра линии излучения; c — скорость света.

Восстановление по $f(v, \mathbf{n})$ трехмерного распределения частиц по скоростям $F(\mathbf{V})$, где $\mathbf{V} = (V_x, V_y, V_z)$, в общем случае не представляется возможным. Это удастся сделать лишь в частных случаях, когда вносятся априорные предположения об угловой зависимости распределения (например, об его изотропности). В данной работе рассматривается более общая постановка задачи, позволяющая производить измерение ФР без использования этих предположений.

2. При отсутствии априорной информации об угловой структуре ФР функция $F(\mathbf{V})$ может быть определена по результатам многокурсных спектроскопических наблюдений, т. е. по набору одномерных ФР $f(v, \mathbf{n})$ при различных ориентациях вектора

$$(2.1) \quad \mathbf{n} = (\sin \theta \cos \varphi, \sin \theta \sin \varphi, \cos \theta),$$

где θ и φ — полярный и азимутальный углы наблюдения в сферической системе координат. Следуя [3], запишем связь $f(v, \mathbf{n})$ и $F(\mathbf{V})$ в виде

$$(2.2) \quad \int F(\mathbf{V}) \delta(v - \mathbf{n} \cdot \mathbf{V}) d^3\mathbf{V} = f(v, \mathbf{n}).$$

Уравнение (2.2) является преобразованием Радона функции $F(\mathbf{V})$ в трехмерном пространстве скоростей, причем для каждого вектора \mathbf{n} (для каждого набора углов θ, φ) необходимо предварительно решить уравнение (1.1).

Вопрос о нахождении численного решения уравнения типа (1.1) достаточно полно рассмотрен в [4]. Ниже проводится исследование возможностей численного решения уравнения (2.2). Разработан численный алгоритм обращения (2.2), основанный на методе Фурье-анализа проекционных данных $f(v, \mathbf{n})$ [5].

3. Трехмерный Фурье-образ функции $F(\mathbf{V})$, записанный в сферической системе координат, обозначим через $\widehat{F}(k\mathbf{n}) = \widehat{F}(k \sin \theta \cos \varphi, k \sin \theta \sin \varphi, k \cos \theta)$. Согласно известной в вычислительной томографии теореме о центральном сечении, имеет место соотношение [5]

$$(3.1) \quad \widehat{F}(k\mathbf{n}) = \widehat{f}(k, \mathbf{n}) = \int_{-\infty}^{\infty} f(v, \mathbf{n}) \exp(-2\pi i k v) dv.$$

Выражение (3.1) означает, что одномерный Фурье-образ функции $f(v, \mathbf{n})$ по переменной v равен трехмерному Фурье-образу $\widehat{F}(k\mathbf{n})$ на луче с направлением $\mathbf{n}(\theta, \varphi)$. При численной реализации метода Фурье-синтеза сначала по набору функций $f(v, \mathbf{n})$ строится Фурье-образ $\widehat{F}(\mathbf{k})$ функции $F(\mathbf{V})$ на дискретной сетке в сферической системе координат, затем спектр $\widehat{F}(\mathbf{k})$ пересчитывается на сетку, заданную в декартовой системе координат $\mathbf{k} = (k_x, k_y, k_z)$.

Для перехода от полученного Фурье-образа $\widehat{F}(\mathbf{k})$ к ФР $F(\mathbf{V})$ необходимо произвести обратное трехмерное преобразование Фурье

$$(3.2) \quad F(\mathbf{V}) = \int \widehat{F}(\mathbf{k}) \exp(2\pi i \mathbf{k} \cdot \mathbf{V}) d^3\mathbf{k}.$$

В реальных условиях $f(v, \mathbf{n})$ содержит случайный шум, а следовательно, $\widehat{F}(\mathbf{k})$ содержит высокочастотные гармоники, которые операцию Фурье-преобразования (3.2) превращают в численно неустойчивую процедуру. Для преодоления этой трудности вместо функции $\widehat{F}(\mathbf{k})$ строится ее регуляризованный аналог [6]

$$\widehat{F}_\alpha(\mathbf{k}) = \widehat{F}(\mathbf{k}) / \left(1 + \alpha \sum_{i=0}^l d_i (k_x^2 + k_y^2 + k_z^2)^i \right),$$

где α — параметр регуляризации; l — порядок регуляризации; $d_i \geq 0$ — весовые множители. Выбор l и d_i определяется априорными сведениями о гладкости искомого решения.

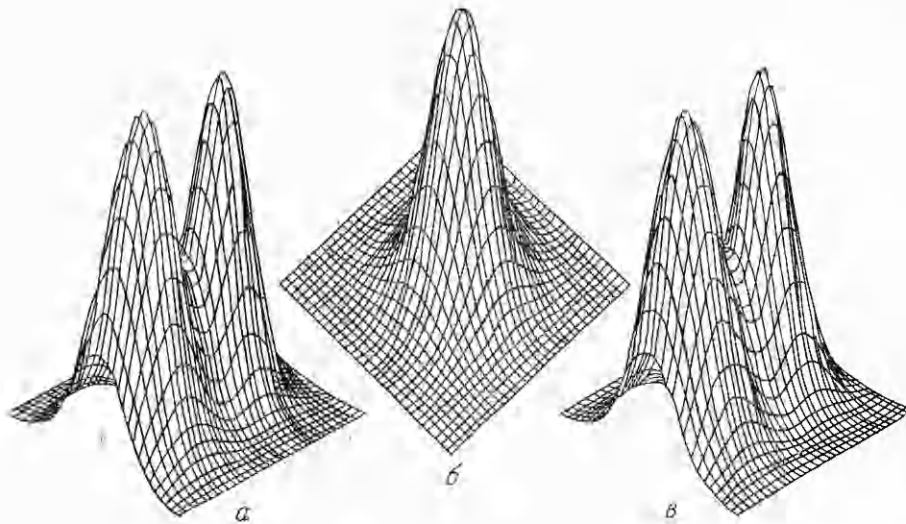
В результате обратного преобразования Фурье получаем регуляризованную оценку для $F(\mathbf{V})$:

$$F_\alpha(\mathbf{V}) = \int \widehat{F}_\alpha(\mathbf{k}) \exp(2\pi i \mathbf{k} \cdot \mathbf{V}) d^3\mathbf{k}.$$

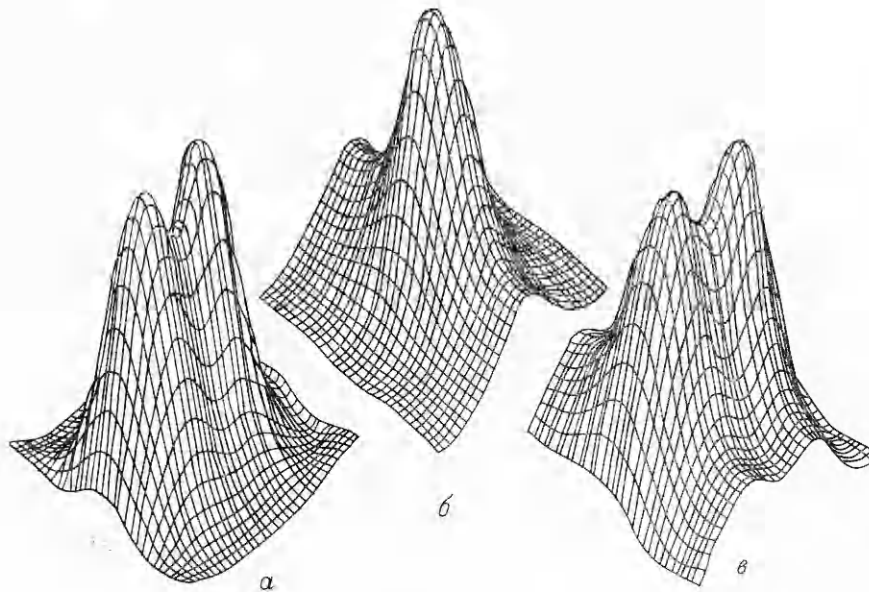
Выбор параметра регуляризации α осуществлялся из условия согласования невязки с уровнем шума экспериментальных данных. В настоящей работе использовался способ выбора α , основанный на методе максимума функции правдоподобия [4].

4. На модельной задаче проведено численное тестирование алгоритма. В качестве модельного распределения использована функция

$$(4.1) \quad F(\mathbf{V}) = \sum_{i=1}^2 a_i \exp(-b_i^2 |\mathbf{V} + \mathbf{u}_i|^2)$$



Р и с. 1



Р и с. 2

при $a_1 = 1$, $a_2 = 1$, $b_1 = 4$, $b_2 = 5$, $u_1 = (0; 0,25; 0)$, $u_2 = (0; -0,15; 0)$. Тестовая функция (4.1) может рассматриваться как математическая модель ФР неравновесной двухкомпонентной среды.

Преобразование (2.2) функции (4.1) имеет вид

$$f(v; \mathbf{n}) = \pi \sum_{i=1}^2 \frac{a_i}{b_i^2} \exp(-b_i^2 (v + \mathbf{u}_i \cdot \mathbf{n})^2),$$

причем вектор \mathbf{n} определен соотношением (2.1).

Численные расчеты проводились при равномерной сетке по переменной v с числом отсчетов $N_v = 32$. Число ракурсов по углам θ и φ выбиралось равным соответственно N_θ и N_φ ($\theta \in [0, \pi/2]$, $\varphi \in [0, 2\pi]$) с равномерным шагом по θ и φ . Уровень зашумленности функции $f(v, \mathbf{n})$ задавался равным 1 % от максимума $f(v, \mathbf{n})$.

Рис. 1 и 2 иллюстрируют результаты расчетов. Изометрические изображения на рис. 1 показывают точное распределение (4.1) в сечениях

$V_x = 0$ (а), $V_y = 0$ (б), $V_z = 0$ (в). На рис. 2 видны соответствующие сечения для восстановленного распределения $F_\alpha(\mathbf{V})$ при $N_\theta = 10$, $N_\phi = 10$.

Результаты численных расчетов демонстрируют возможности нахождения трехмерного распределения частиц по скоростям средствами вычислительной томографии.

ЛИТЕРАТУРА

1. Полякова Г. Н., Ранюк А. И., Ерко В. Ф. Распределение по кинетическим энергиям возбужденных атомов, возникающих при диссоциации молекул H_2 и D_2 электронным ударом // ЖЭТФ.— 1977.— Т. 73, вып. 6(12).
2. Оторбаев Д. К., Очкин В. Н., Преображенский Н. Г. и др. Распределение молекул $N_2(C^3\Pi)$ по скоростям при их возбуждении в нерезонансных взаимодействиях тяжелых частиц.— М., 1981.— (Препр./Физ. ин-т АН СССР; № 39).
3. Kinsey J. L. Fourier transform Doppler spectroscopy: a new means of obtaining velocity-angle distributions in scattering experiments // J. Chem. Phys.— 1977.— V. 66, N 6.
4. Воскобойников Ю. Е., Преображенский Н. Г., Седельников А. И. Математическая обработка эксперимента в молекулярной газодинамике.— Новосибирск: Наука, 1984.
5. Луитт Р. М. Алгоритмы реконструкции с использованием интегральных преобразований // ТИИЭР.— 1983.— Т. 71, № 3.
6. Воскобойников Ю. Е., Пикалов В. В., Седельников А. И. Регуляризирующий алгоритм Фурье-реконструкции // II Всесоюз. симпози. по вычислительной томографии, Куйбышев, 1985: Тез. докл.— Куйбышев: КуАИ, 1985.

г. Новосибирск

Поступила 22/VII 1988 г.

УДК 621.313.17:537.856

И. А. Васильев, С. Р. Петров

ЧИСЛЕННОЕ И ЭКСПЕРИМЕНТАЛЬНОЕ ИССЛЕДОВАНИЕ МНОГОКАСКАДНОГО ИНДУКЦИОННОГО УСКОРИТЕЛЯ ПРОВОДНИКОВ

В ряде областей науки и техники требуется получение высоких скоростей движения твердых тел, которые могут быть достигнуты при метании проводников в сильных магнитных полях. Эффективным способом высокоскоростного метания является ускорение плоских кольцевых проводников в импульсном магнитном поле, создаваемом плоским кольцевым индуктором [1]. Однако иногда требуется ускорять объемные тела, в частности, имеющие цилиндрическую форму. Такие проводники могут быть ускорены в импульсном магнитном поле, создаваемом индуктором в виде соленоидной катушки. На базе индукторной системы соленоидного типа можно создать многокаскадные ускорители проводников, позволяющие достигать высоких скоростей метания при ограниченных механических нагрузках на метаемое тело.

Теоретическому исследованию электромеханических процессов в однокаскадных (содержащих одну ускоряющую катушку) ускорителях с индуктором соленоидного типа, питаемым от конденсаторной батареи, посвящены работы [2—4]. В [2] разработана математическая модель индукторной системы соленоидного типа с использованием метода интегральных уравнений, выявлено существование оптимальной массы ускоряемого проводника, при которой кинетическая энергия проводника может составлять более 50 % от энергии, первоначально накопленной в конденсаторной батарее. В [3] на математической модели в приближении теории цепей проанализировано влияние основных параметров индукторной системы на электромеханический КПД, определяемый как отношение кинетической энергии проводника по окончании ускорения к начальному запасу энергии в конденсаторной батарее. Выявлено, в частности, что к значительному повышению КПД в ряде случаев приводит наличие начальной скорости проводника, что должно обусловить относительно высокую эффективность преобразования энергии в многокаскадном ускорителе. Численное исследование электромагнитных процессов в индукторной системе соленоидного типа на основе метода конечных разностей, проведенное авторами [4], показало, что математическая модель, предложенная в [3], позволяет с достаточной для инженерной практики точностью рассчитывать конечную скорость проводника и амплитуду разрядного тока. С другой стороны, допущение о равномерном распределении плотности тока по осевой длине ускоряемого проводника не позволяет детально проанализировать процесс оплавления проводника в результате разогрева вихревыми токами, который в разных частях проводника протекает неодинаково. Правильный учет джоулева нагрева особенно важен при модели-